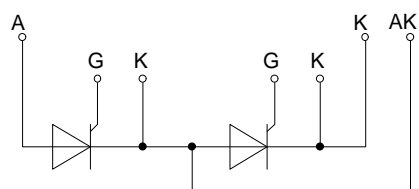
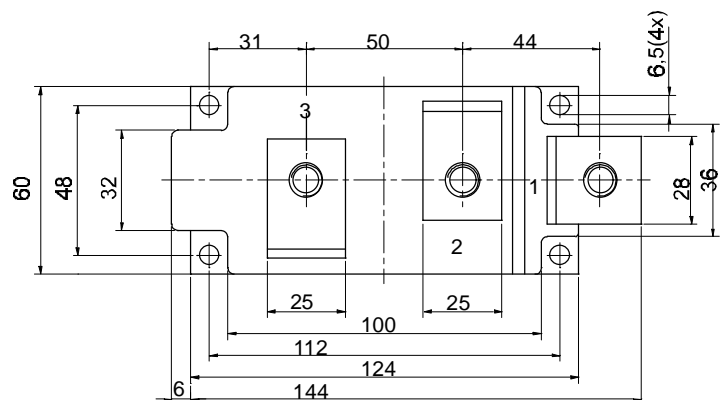
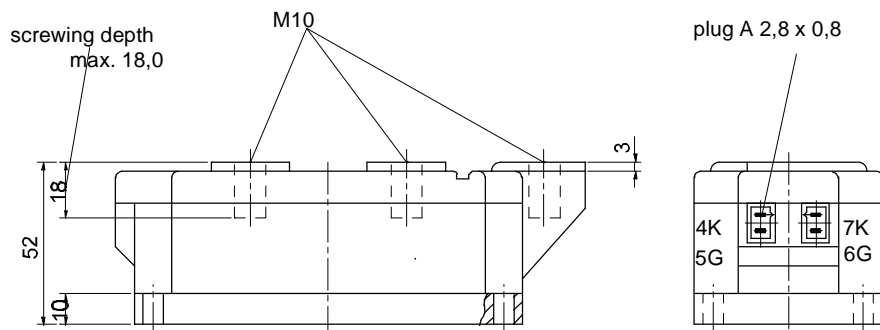


European Power-  
Semiconductor and  
Electronics Company  
GmbH + Co. KG

## Marketing Information TT 430 N



# TT 430 N, TD 430 N, DT 430 N

Elektrische Eigenschaften		Electrical properties					
Höchstzulässige Werte		Maximum rated values					
Periodische Vorwärts- und Rückwärts-Spitzenperrspannung		repetitive peak forward off-state and reverse voltages	$t_{vj} = -40^\circ\text{C} \dots t_{vj\max}$	$V_{\text{DRM}}$	1800	2000	2200
Vorwärts-Stoßspitzenperrspannung		non-repetitive peak forward off-state voltage	$t_{vj} = -40^\circ\text{C} \dots t_{vj\max}$	$V_{\text{RRM}}$		2400	V <sup>1)</sup>
Rückwärts-Stoßspitzenperrspannung		non-repetitive peak voltage	$t_{vj} = +25^\circ\text{C} \dots t_{vj\max}$	$V_{\text{DSM}}$	1800	2000	2200
Durchlaßstrom-Grenzeffektivwert	RMS on-state current			$I_{\text{TRMSM}}$		800	A
Dauergrenzstrom	average on-state current		$t_c = 85^\circ\text{C}$	$I_{\text{TAVM}}$		430	A
			$t_c = 75^\circ\text{C}$			510	A
Stoßstrom-Grenzwert	surge current		$t_{vj} = 25^\circ\text{C}, t_p = 10 \text{ ms}$	$I_{\text{TSM}}$		14	kA
Grenzlastintegral	$I^2 t$ -value		$t_{vj} = t_{vj\max}, t_p = 10 \text{ ms}$	$I^2 t$		12	kA
Kritische Stromsteilheit	critical rate of rise of on-state		$t_{vj} = 25^\circ\text{C}, t_p = 10 \text{ ms}$			$980 \cdot 10^3$	$\text{A}^2\text{s}$
Kritische Spannungssteilheit	critical rate of rise of off-state		$t_{vj} = t_{vj\max}, t_p = 10 \text{ ms}$			$720 \cdot 10^3$	$\text{A}^2\text{s}$
			DIN IEC 747-6	$(di_T/dt)_{cr}$		150	$\text{A}/\mu\text{s}$
			$f = 50 \text{ Hz}, I_{GM} = 1 \text{ A}, di_G = 1 \text{ A}/\mu\text{s}$				
			$t_{vj} = t_{vj\max}, V_D = 0,67 V_{\text{DRM}}$	$(dv_D/dt)_{cr}$		500	$\text{V}/\mu\text{s}$
			6.Kennbuchstabe/6th letter C				
			6.Kennbuchstabe/6th letter F			1000	$\text{V}/\mu\text{s}$
Charakteristische Werte		Characteristic values					
Durchlaßspannung	on-state voltage		$t_{vj} = t_{vj\max}, i_T = 1,5 \text{ kA}$	$V_T$		max. 1,78	V
Schleusenspannung	threshold voltage		$t_{vj} = t_{vj\max}$	$V_{T(\text{TO})}$		0,95	V
Ersatzwiderstand	slope resistance		$t_{vj} = t_{vj\max}$	$r_T$		0,45	$\text{m}\Omega$
Zündstrom	gate trigger current		$t_{vj} = 25^\circ\text{C}, v_D = 6 \text{ V}$	$I_{GT}$		max.250	mA
Zündspannung	gate trigger voltage		$t_{vj} = 25^\circ\text{C}, v_D = 6 \text{ V}$	$V_{GT}$		max. 2,2	V
Nicht zündender Steuerstrom	gate non-trigger current		$t_{vj} = t_{vj\max}, v_D = 6 \text{ V}$	$I_{GD}$		max. 10	mA
Nicht zündende Steuerspannung	gate non-trigger voltage		$t_{vj} = t_{vj\max}, V_D = 0,5 V_{\text{DRM}}$	$V_{GD}$		max. 5	mA
Haltestrom	holding current		$t_{vj} = t_{vj\max}, V_D = 0,5 V_{\text{DRM}}$			max. 0,25	V
Einraststrom	latching current		$t_{vj} = 25^\circ\text{C}, v_D = 6 \text{ V}, R_A = 5 \Omega$	$I_H$		max.300	mA
Vorwärts- und Rückwärts-Sperrstrom	forward off-state and reverse currents		$t_{vj} = 25^\circ\text{C}, v_D = 6 \text{ V}, R_{GK} >= 10 \Omega$	$I_L$		max.1500	mA
Zündverzug	gate controlled delay time		$i_{GM} = 1 \text{ A}, di_G/dt = 1 \text{ A}/\mu\text{s}, t_g = 20$	$i_D, i_R$		max.100	mA
			$t_{vj} = t_{vj\max}$				
Freiwerdezeit	circuit commutated turn-off time		$V_D = V_{\text{DRM}}, V_R = V_{\text{RRM}}$ DIN IEC 747-6, $t_{vj} = 25^\circ\text{C}$ $i_{GM} = 1 \text{ A}, di_G/dt = 1 \text{ A}/\mu\text{s}$	$t_{gd}$		max.4	$\mu\text{s}$
			$t_{vj} = t_{vj\max}, i_{TM} = I_{\text{TAVM}}$ $V_{\text{RM}} = 100 \text{ V}, V_{\text{DM}} = 0,67 V_{\text{DRM}}$ $dv_D/dt = 20 \text{ V}/\mu\text{s}, -di_T/dt = 10 \text{ A}/\mu\text{s}$	$t_q$		typ. 300	$\mu\text{s}$
			5.Kennbuchstabe/5th letter O				
Isolations-Prüfspannung	insulation test voltage		RMS, $f = 50 \text{ Hz}, t = 1 \text{ min}$ RMS, $f = 50 \text{ Hz}, t = 1 \text{ sec}$	$V_{\text{ISOL}}$		3	kV
3,6							
Thermische Eigenschaften		Thermal properties					
Innerer Wärmewiderstand	thermal resistance, junction		pro Modul/per module, $\Theta = 180^\circ$	$R_{\text{thJC}}$		max. 0,0325	$^\circ\text{C}/\text{W}$
	to case		pro Zweig/per arm, $\Theta = 180^\circ \sin$			max. 0,0650	$^\circ\text{C}/\text{W}$
			pro Modul/per module, DC			max. 0,0310	$^\circ\text{C}/\text{W}$
			pro Zweig/per arm, DC			max. 0,0620	$^\circ\text{C}/\text{W}$
Übergangs-Wärmewiderstand	thermal resistance, case to		pro Modul/per module			max. 0,01	$^\circ\text{C}/\text{W}$
			pro Zweig/per arm			max. 0,02	$^\circ\text{C}/\text{W}$
Höchstzul. Sperrsichttemperatur	max. junction temperature		$t_{vj\max}$			125	°C
Betriebstemperatur	operating temperature		$t_c \text{ op}$			-40...+125	°C
Lagertemperatur	storage temperature		$t_{sig}$			-40...+130	°C
Mechanische Eigenschaften		Mechanical properties					
Gehäuse, siehe Seite	case, see page					1	
Si-Element mit Druckkontakt	Si-pellet with pressure contact						AIN
Innere Isolation	internal insulation						
Anzugsdrehmoment für mechanische Befestigung	mounting torque		Toleranz/tolerance +/- 15%	M1		6	Nm
Anzugsdrehmoment für elektrische Anschlüsse	terminal connection torque		Toleranz/tolerance +5%/-10%	M2		12	Nm
Gewicht	weight			$G$		typ. 1500	g
Kriechstrecke	creepage distance					19	mm
Schwingfestigkeit	vibration resistance		$f = 50 \text{ Hz}$			50	$\text{m}/\text{s}^2$
1) 2400 V auf Anfrage / 2400 V on demand							

TT 430 N

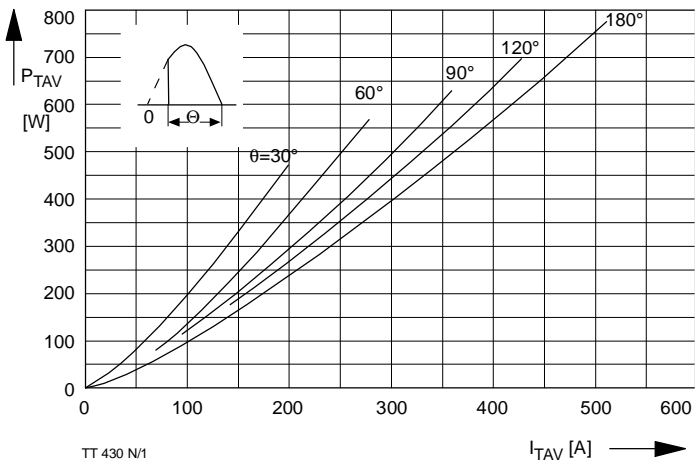


Bild / Fig. 1  
Durchlaßverlustleistung je Zweig / On-state power loss per arm  
 $P_{TAV} = f(I_{TAV})$   
Parameter: Stromflußwinkel / current conduction angle  $\theta$

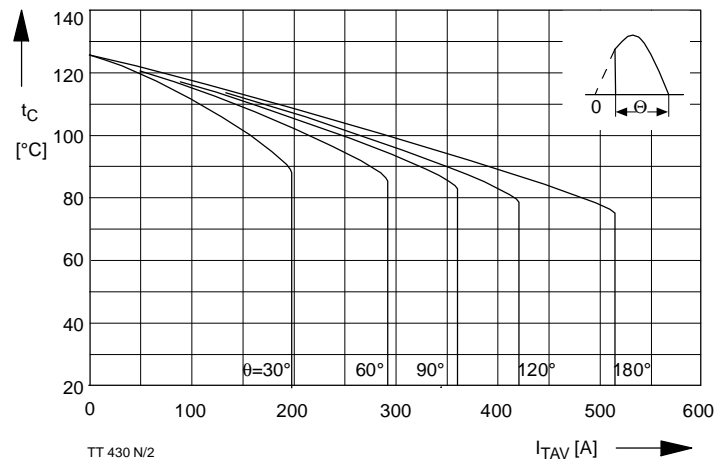


Bild / Fig. 2  
Höchstzulässige Gehäusetemperatur / Maximum allowable case temperature  
 $t_C = f(I_{TAVM})$   
Strombelastung je Zweig / current load per arm  
Parameter: Stromflußwinkel / current conduction angle  $\theta$

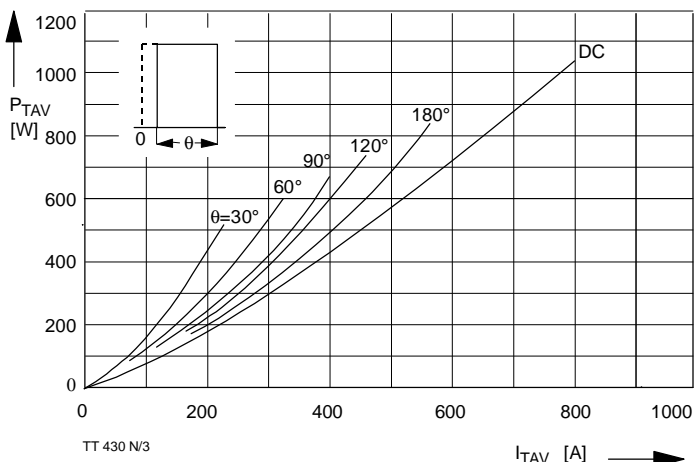


Bild / Fig. 3  
Durchlaßverlustleistung je Zweig / On-state power loss per arm  
 $P_{TAV} = f(I_{TAV})$   
Parameter: Stromflußwinkel / current conduction angle  $\theta$

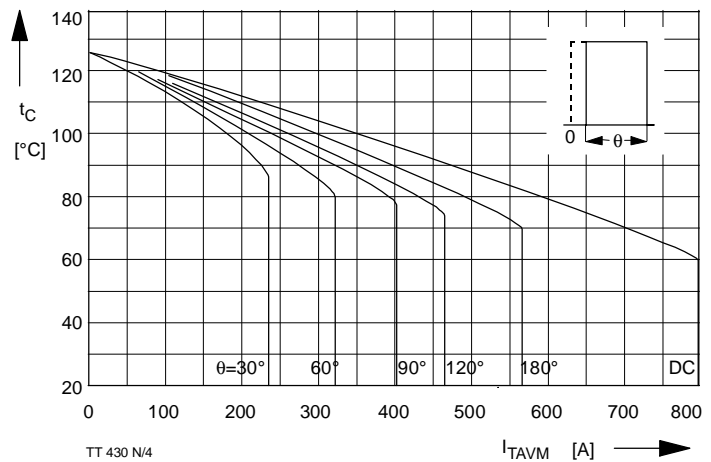


Bild / Fig. 4  
Höchstzulässige Gehäusetemperatur / Maximum allowable case temperature  
 $t_C = f(I_{TAVM})$   
Strombelastung je Zweig / current load per arm  
Parameter: Stromflußwinkel / current conduction angle  $\theta$

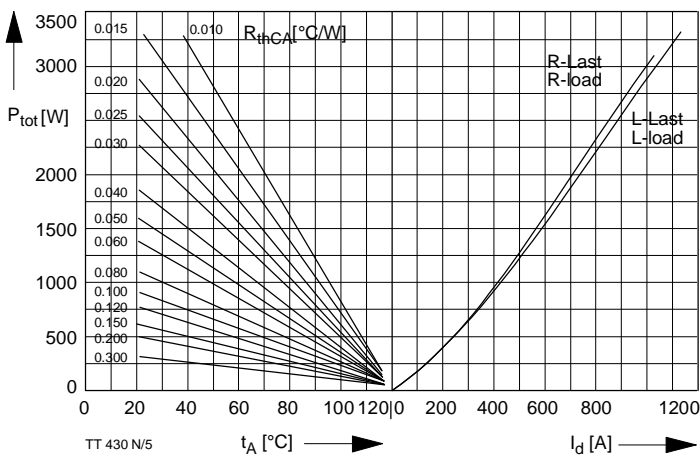


Bild / Fig. 6  
B6 - Sechspuls-Brückenschaltung / Six-pulse bridge circuit  
Höchstzulässiger Ausgangsstrom / Maximum rated output current  $I_d$   
Gesamtverlustleist. der Schaltung / Total power dissip. of the circuit  $P_{tot}$   
Parameter: Wärmewiderstand zwischen Gehäuse und Umgebung / thermal resistance case to ambient  $R_{thCA}$

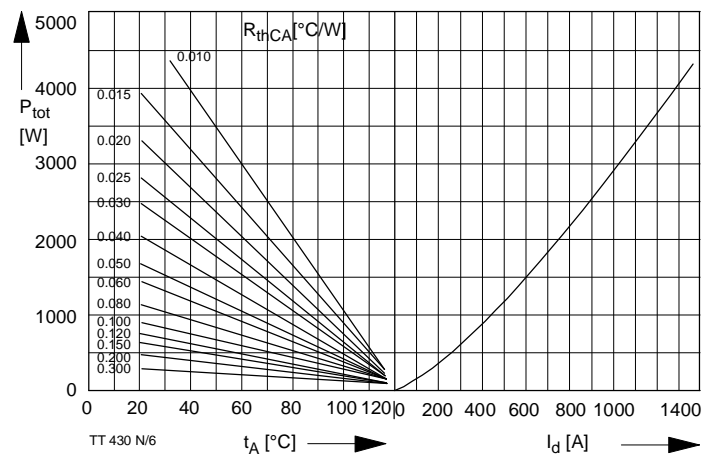


Bild / Fig. 6  
B6 - Sechspuls-Brückenschaltung / Six-pulse bridge circuit  
Höchstzulässiger Ausgangsstrom / Maximum rated output current  $I_d$   
Gesamtverlustleist. der Schaltung / Total power dissip. of the circuit  $P_{tot}$   
Parameter: Wärmewiderstand zwischen Gehäuse und Umgebung / thermal resistance case to ambient  $R_{thCA}$

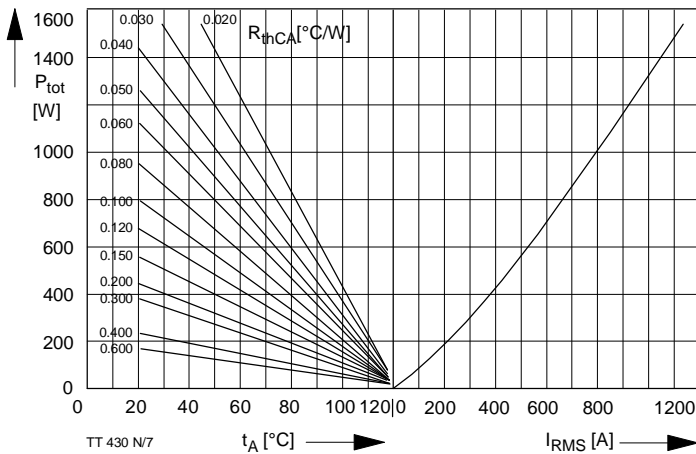


Bild / Fig. 7  
W1C - Einphasen-Wechselwegschaltung / Single-phase inverse parallel circuit  
Höchstzulässiger Effektivstrom / Maximum rated RMS current  $I_{\text{RMS}}$   
Gesamtverlustleist. der Schaltung / Total power dissip. of the circuit  $P_{\text{tot}}$   
Parameter: Wärmewiderstand zwischen Gehäuse und Umgebung/  
thermal resistance case to ambient  $R_{\text{thCA}}$

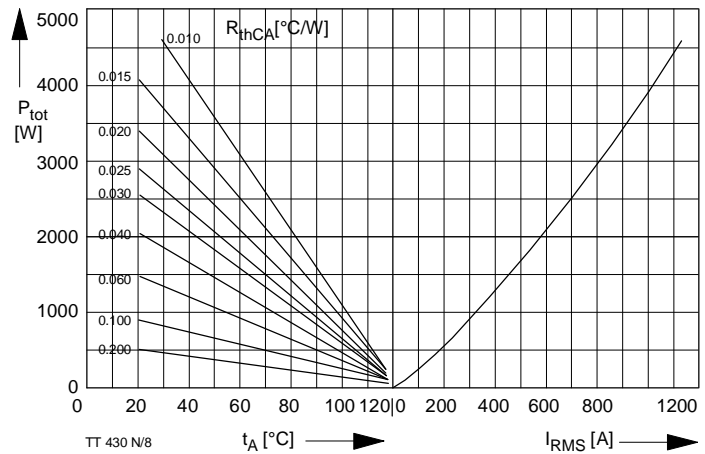


Bild / Fig. 8  
W3C - Dreiphasen-Wechselwegschaltung / Three-phase inverse parallel circuit  
Höchstzulässiger Effektivstrom je Phase / Maximum rated RMS current per phase  $I_{\text{RMS}}$   
Gesamtverlustleist. der Schaltung / Total power dissip. of the circuit  $P_{\text{tot}}$   
Parameter: Wärmewiderstand zwischen Gehäuse und Umgebung/  
thermal resistance case to ambient  $R_{\text{thCA}}$

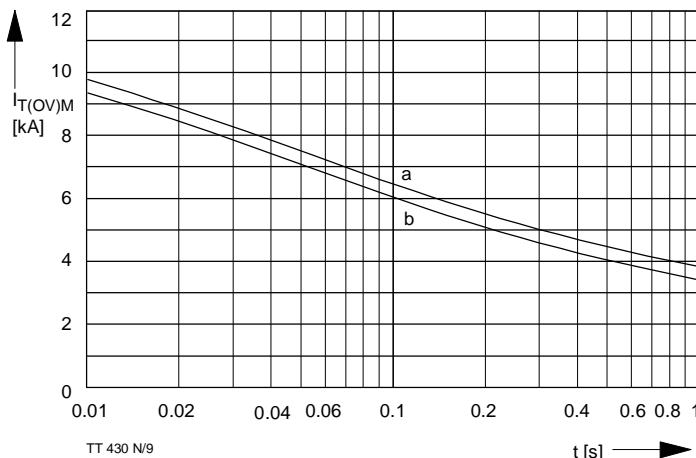


Bild / Fig. 9  
Grenzstrom je Zweig  $I_{T(\text{OV})\text{M}}$ . Belastung aus Leerlauf,  $V_{\text{RM}} = 0,8 V_{\text{RRM}}$   
Maximum overload on-state current per arm  $I_{T(\text{OV})\text{M}}$ . Surge current under no-load conditions,  $V_R = 0,8 V_{\text{RRM}}$   
a -  $t_A = 35^\circ\text{C}$ , verstärkte Luftkühlung / forced cooling  
b -  $t_A = 45^\circ\text{C}$ , Luftselselbstkühlung / natural cooling

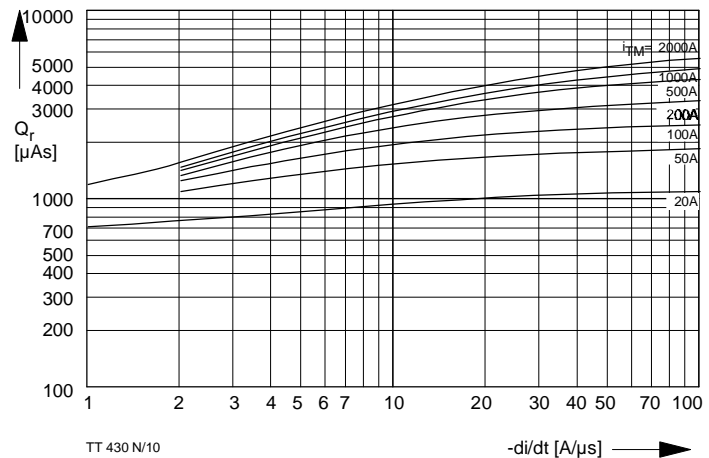


Bild / Fig. 10  
Sperrverzögerungsladung / Recovery charge  $Q_r = f(-di/dt)$   
 $t_{vj} = t_{vj\text{max}}, V_R \leq 0,5 V_{\text{RRM}}, V_{\text{RM}} = 0,8 V_{\text{RRM}}$   
Parameter: Durchlaßstrom / On-state current  $i_{\text{TM}}$

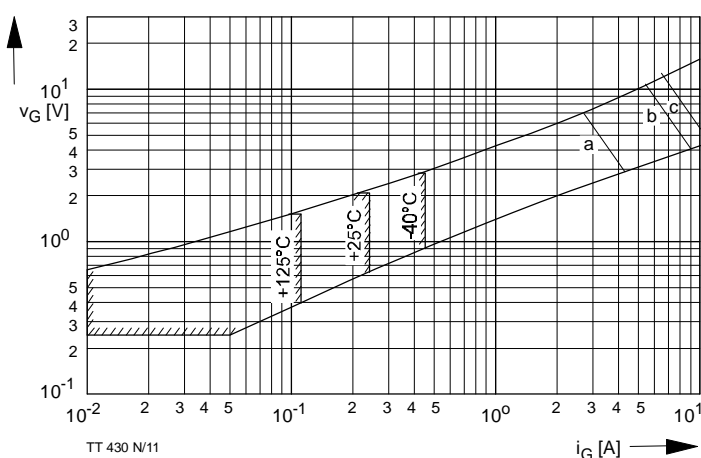


Bild / Fig. 11  
Steuercharakteristik mit Zündbereichen / Gate characteristic with triggering areas,  $v_G = f(i_G)$ ,  $v_D = 6 \text{ V}$   
Parameter:  
a      b      c  
Steuerimpulsdauer / Pulse duration  $t_g$  [ms]    10    1    0,5  
Höchstzulässige Spitzensteuerleistung/  
Maximum allowable peak gate power [W]    20    40    60

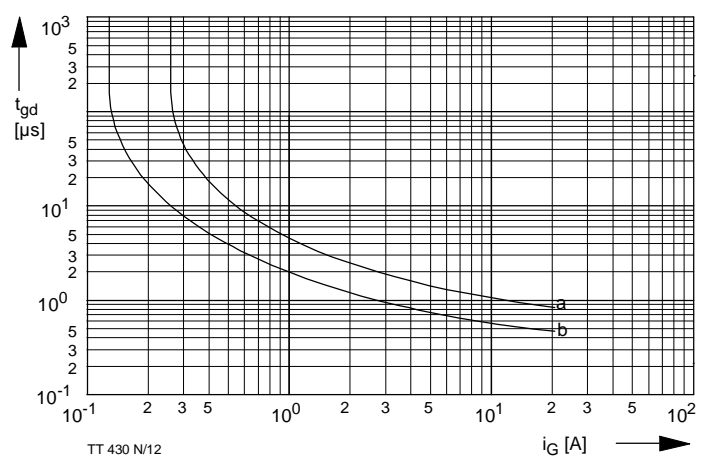


Bild / Fig. 12  
Zündverzug / Gate controlled delay time  $t_{gd} = f(i_G)$   
 $t_{vj} = 25^\circ\text{C}, di_G/dt = i_{GM}/1\mu\text{s}$   
a - äußerster Verlauf / limiting characteristic  
b - typischer Verlauf / typical characteristic

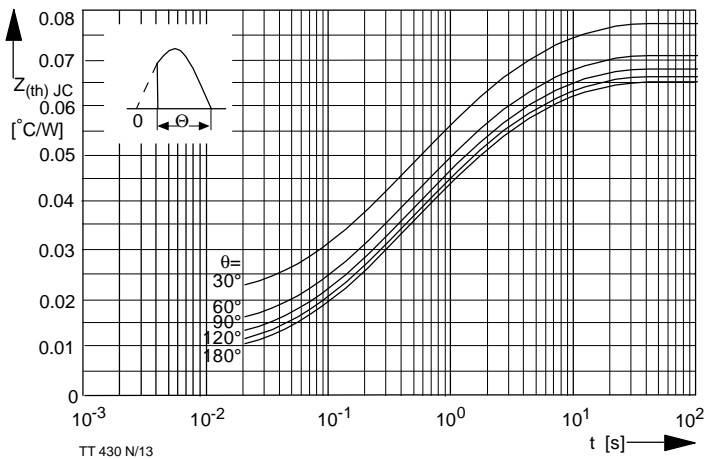


Bild / Fig. 13

Transienter innerer Wärmewiderstand je Zweig / Transient thermal impedance per arm  $Z_{(th)JC} = f(t)$   
Parameter: Stromflußwinkel / current conduction angle  $\theta$

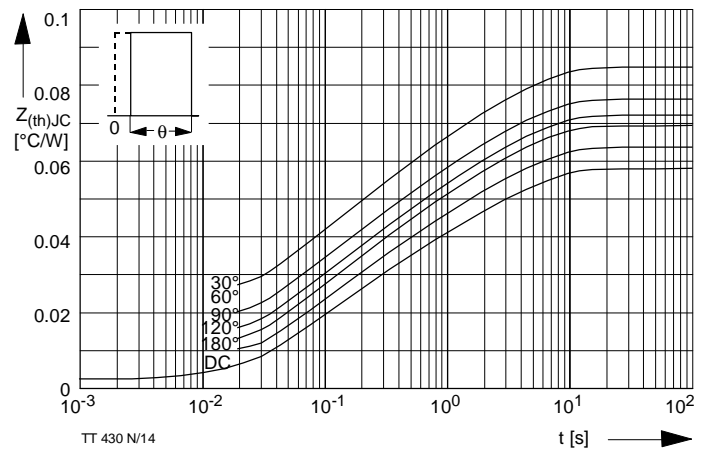


Bild / Fig. 14

Transienter innerer Wärmewiderstand je Zweig / Transient thermal impedance per arm  $Z_{(th)JC} = f(t)$   
Parameter: Stromflußwinkel / current conduction angle  $\theta$

Analytische Elemente des transienten Wärmewiderstandes  $Z_{thJC}$  pro Zweig für DC  
Analytical elements of transient thermal impedance  $Z_{thJC}$  per arm for DC

Pos. n	1	2	3	4	5	6	7
$R_{thn}$ [°C/W]	0,00137	0,00486	0,0114	0,0223	0,0221		
$\tau_n$ [s]	0,00076	0,0086	0,101	0,56	3,12		

Analytische Funktion / Analytical function:

$$Z_{thJC} = \sum_{n=1}^{n_{\max}} R_{thn} \left(1 - e^{-\frac{t}{\tau_n}}\right)$$